

Aproksymacja profilu wysokościowego

Krzysztof Gibała 160614

10. 06. 2018

1 Wprowadzenie

W celu zobrazowania, implementacji i wykorzystania metod interpolacyjnych, za zbiór punktów referencyjnych objęto próbki dotyczące różnych profili tras.

Każda trasa traktowana jako zbiór danych wejściowych w postaci (x, y) posiadająca 500 próbek.

1.1 Interpolacja Lagrange'a

Rozważmy szereg punktów $(x_j, f(x_j))$, do tych punktów można dopasować wielomian stopnia n . Baza wielomianów $l_i(x)$ dana jest przez funkcje Lagrange'a:

$$l_i(x) = \frac{Q_{j=0, j \neq i}^n(x - x_j)}{\prod_{j=0, j \neq i}^n(x_i - x_j)} = \begin{cases} 1 : x = x_i \\ 0 : x = x_j \neq x_i \end{cases}$$

A więc wielomian Lagrange'a można zapisać :

$$w(x) = \sum_{i=0}^n a_i l_i(x) = \sum_{i=0}^n a_i \frac{Q_{j=0, j \neq i}^n(x - x_j)}{Q_{j=0, j \neq i}^n(x_i - x_j)}$$

Na mocy warunku, że w węzłach wielomian interpolacyjny jest równy funkcji interpolowanej, otrzymuje się $a_i = f(x_i)$, a więc ostatecznie:

$$w(x) = \sum_{i=0}^n f(x_i) \frac{Q_{j=0, j \neq i}^n(x - x_j)}{\prod_{j=0, j \neq i}^n(x_i - x_j)}$$

1.2 Interpolacja funkcjami sklejanymi

Aproksymacja wielomianowa nie zawsze daje dobre rezultaty, szczególnie gdy zachodzi potrzeba użycia wielomianów wysokiego stopnia i dopasowanie staje się w charakterze oscylacyjne (efekt Rungego). Zachodzi wtedy potrzeba znalezienia metod, które będą dawały bardziej gładkie dopasowanie.

Metoda interpolacji funkcjami sklejanymi wymusza spełnienie kilku specyficznych dla niej warunków.

Na początku rozważanej funkcji zdefiniowane zostają tablice które w pętli for inicjowane są wartościami zgodnie ze wzorem :

$$\begin{aligned} & \left(\frac{\Delta x_{i-1}}{\Delta x_i}\right)g''(x_{i-1}) + \left(\frac{2(x_{i+1} - x_{i-1})}{\Delta x_i}\right)g''(x_i) + (1)g''(x_{i+1}) \\ &= 6 \left(\frac{f(x_{i+1}) - f(x_i)}{(\Delta x_i)^2} - \frac{f(x_i) - f(x_{i-1})}{(\Delta x_i)(\Delta x_{i-1})}\right), \quad (1) \end{aligned}$$

Przypisanie polega na umieszczeniu w tablicy A wartości stojącej przy $g''(x_{i-1})$, w tablicy B wartości przy $g''(x_i)$ oraz w tablicy C wartości przy $g''(x_{i+1})$. Tablica D inicjowana jest wartościami wyliczonymi z prawej strony równości (1). Prócz tego w pętli wyliczany jest indeks $i0$ stanowiący parametr i dla równania

$$g(x) = F_i(x) = \frac{g''(x_i)}{6} \left(\frac{(x_{i+1} - x)^3}{\Delta x_i} - \Delta x_i(x_{i+1} - x)\right)$$

$$\begin{aligned}
& + \frac{g''(x_{i+1})}{6} \left(\frac{(x - x_i)^3}{\Delta x_i} - \Delta x_i (x - x_i) \right) \\
& + f(x_i) \left(\frac{x_{i+1} - x}{\Delta x_i} \right) + f(x_{i+1}) \left(\frac{x - x_i}{\Delta x_i} \right). \quad (2)
\end{aligned}$$

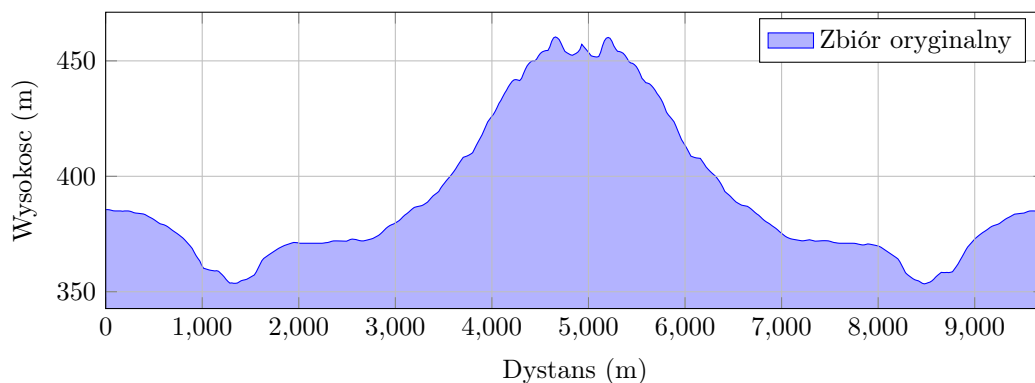
W kolejnej części rozwiązywany jest układ równań względem niewiadomych $g''(x_i) : i = 1, 2, \dots, n-1$, oraz zgodnie z :

$$g''(x_0) = 0$$

$$g''(x_n) = 0$$

przypisywane są zera dla $g''(x_0)$ i $g''(x_n)$. Ostatecznie na podstawie (1) i wyliczonych wartości obliczana jest wartość interpolująca funkcję xf w punkcie x .

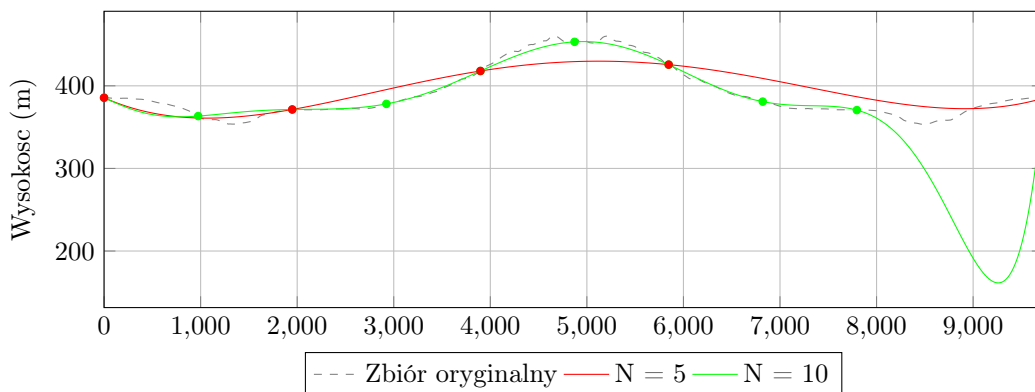
2.1 Trasa o jednym wyraźnym wzniesieniu



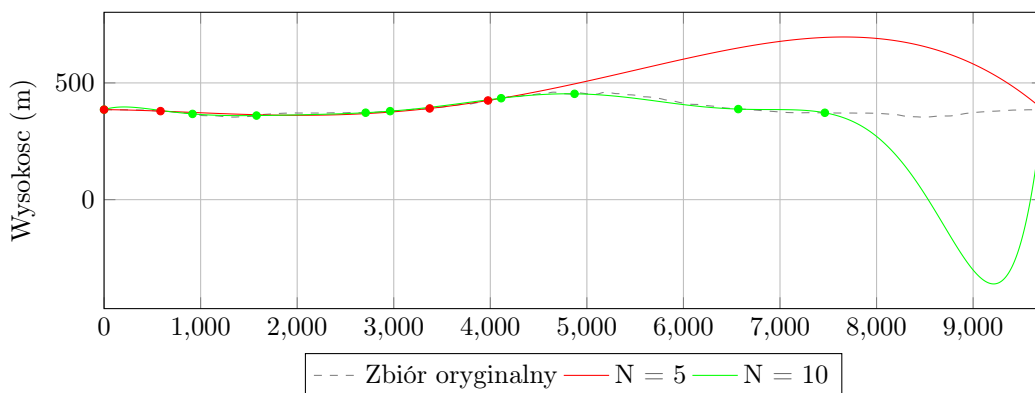
Wykres. 1: Podglądowy charakter profilu trasy.

2.1.1 Wpływ liczby punktów węzłowych na wyniki oraz charakterystyki ich rozmieszczenia

1. Metoda wykorzystująca wielomian interpolacyjny Lagrange'a

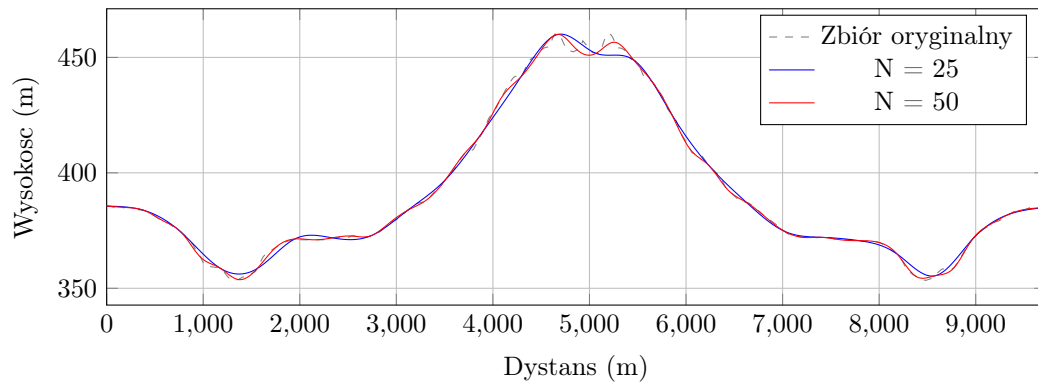


Wykres. 2: Wpływ liczby punktów węzłowych rozmieszczonych równomiernie na wyniki.

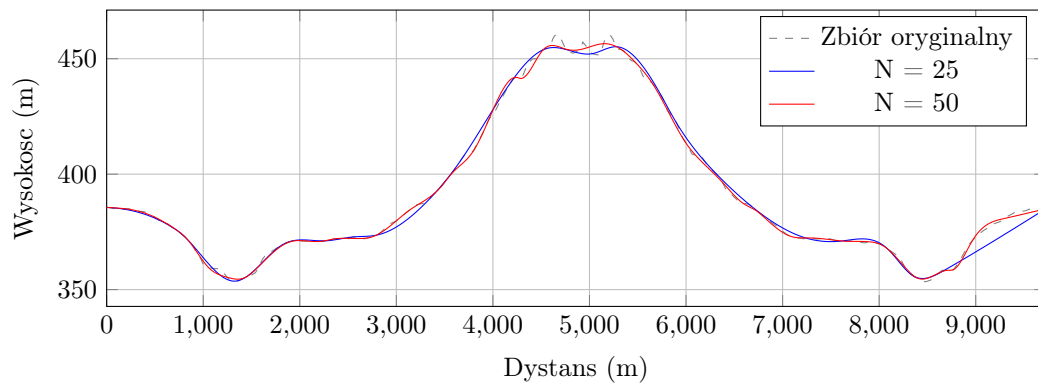


Wykres. 3: Wpływ liczby punktów węzłowych rozmieszczonych nierównomiernie na wyniki.

2. Metoda wykorzystująca funkcje sklejane trzeciego stopnia

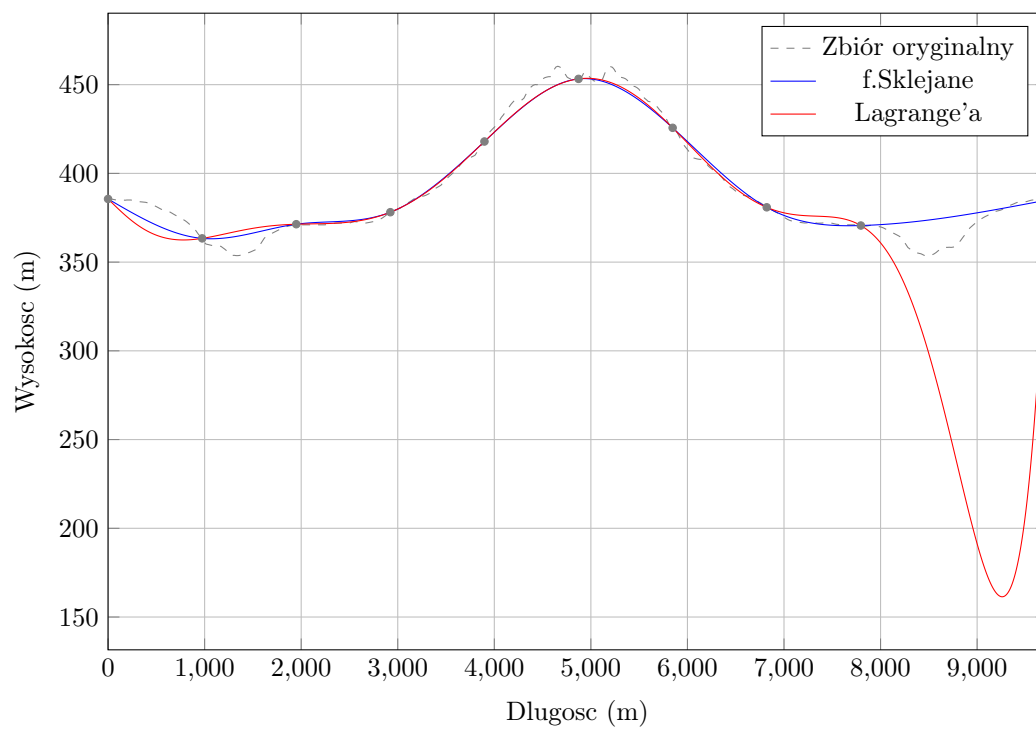


Wykres. 1: Wpływ liczby punktów węzłowych rozmieszczonych równomiernie na wyniki.



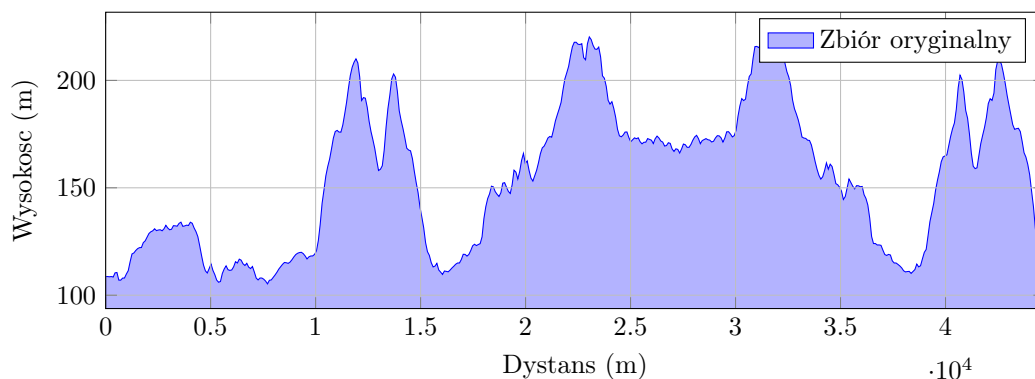
Wykres. 2: Wpływ liczby punktów węzłowych rozmieszczonych nierównomiernie na wyniki.

2.1.2 Zestawienie dwóch wykorzystywanych metod



Wykres. 1: Zestawienie dwóch metod

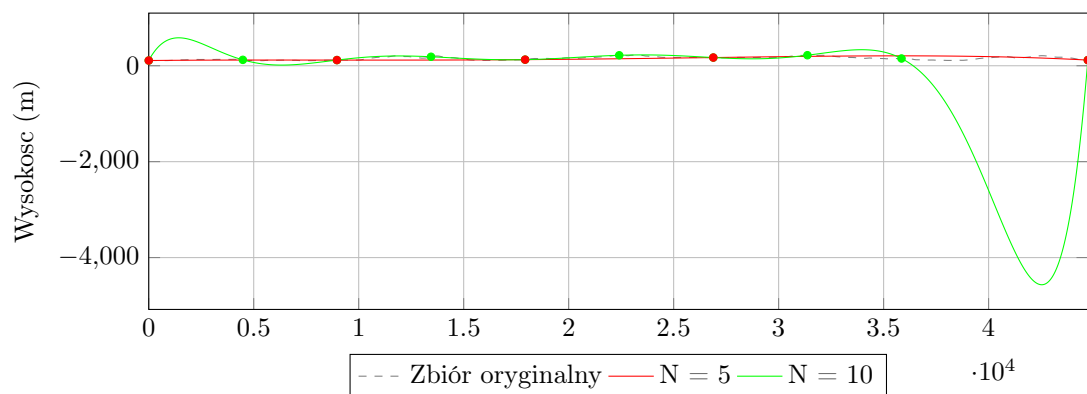
2.2 Trasa o wielu stromych wzniesieniach



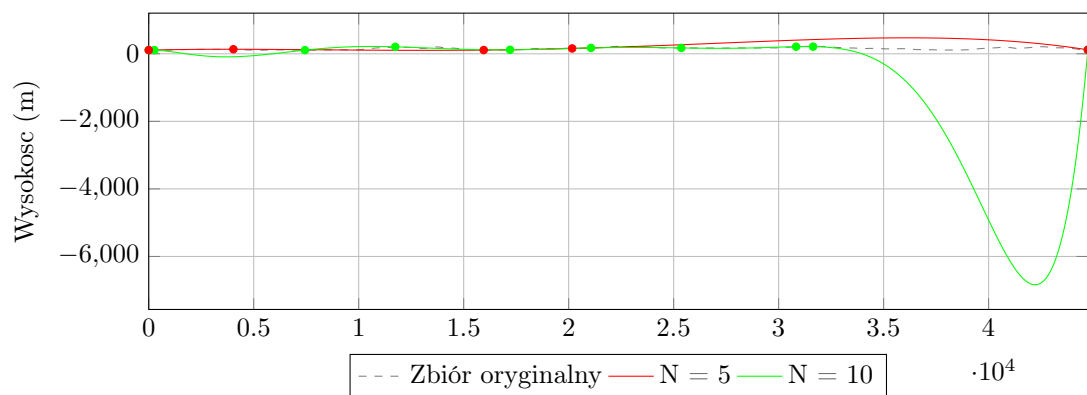
Wykres. 1: Podglądowy charakter profilu trasy.

2.2.1 Wpływ liczby punktów węzłowych na wyniki oraz charakterystyki ich rozmieszczenia

1. Metoda wykorzystująca wielomian interpolacyjny Lagrange'a

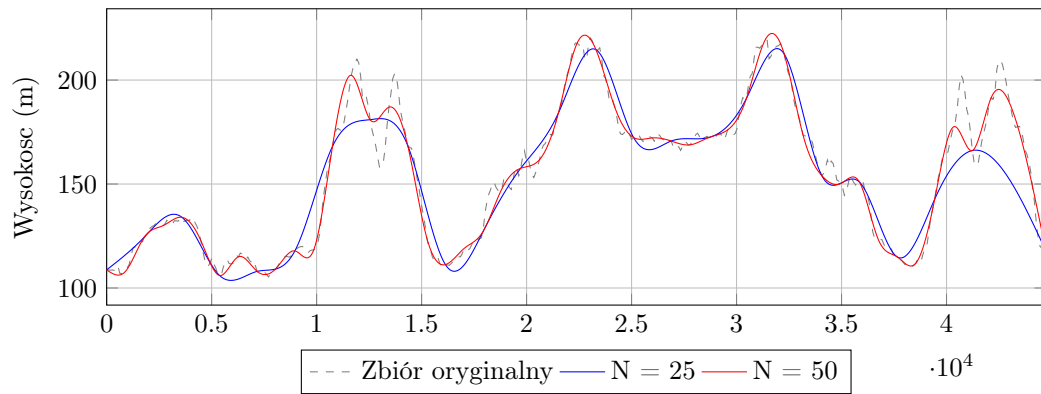


Wykres. 2: Wpływ liczby punktów węzłowych rozmieszczonych równomiernie na wyniki.

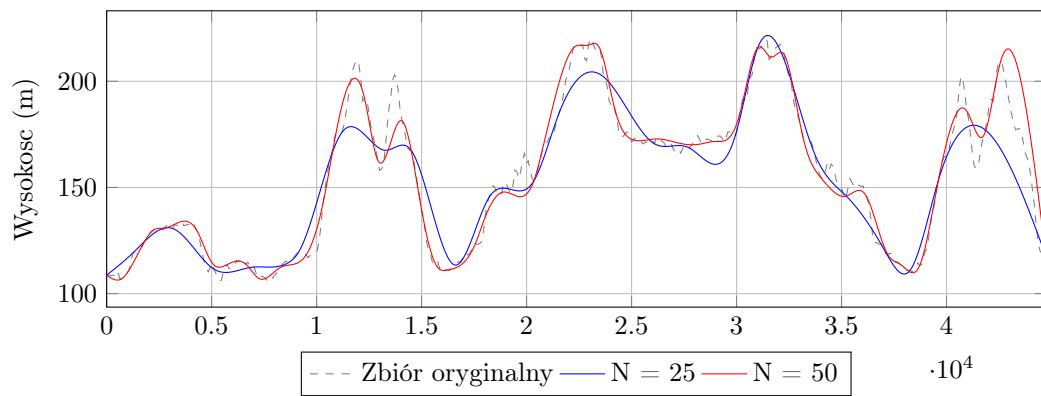


Wykres. 3: Wpływ liczby punktów węzłowych rozmieszczonych nierównomiernie na wyniki.

2. Metoda wykorzystująca funkcje sklejane trzeciego stopnia

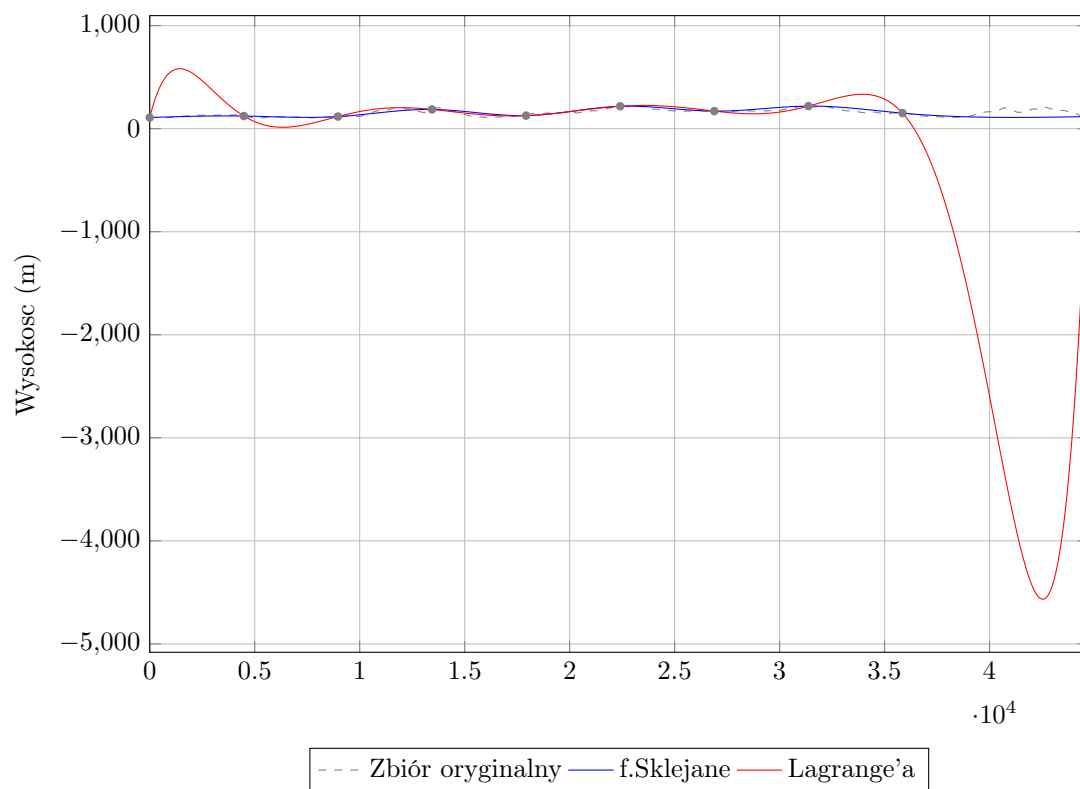


Wykres. 1: Wpływ liczby punktów węzłowych rozmieszczonych równomiernie na wyniki.



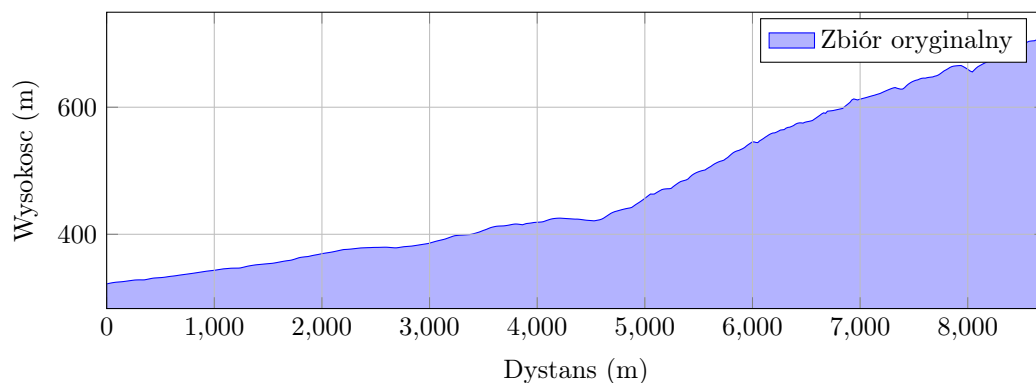
Wykres. 2: Wpływ liczby punktów węzłowych rozmieszczonych nierównomiernie na wyniki.

2.2.2 Zestawienie dwóch wykorzystywanych metod



Wykres. 1: Zestawienie dwóch metod

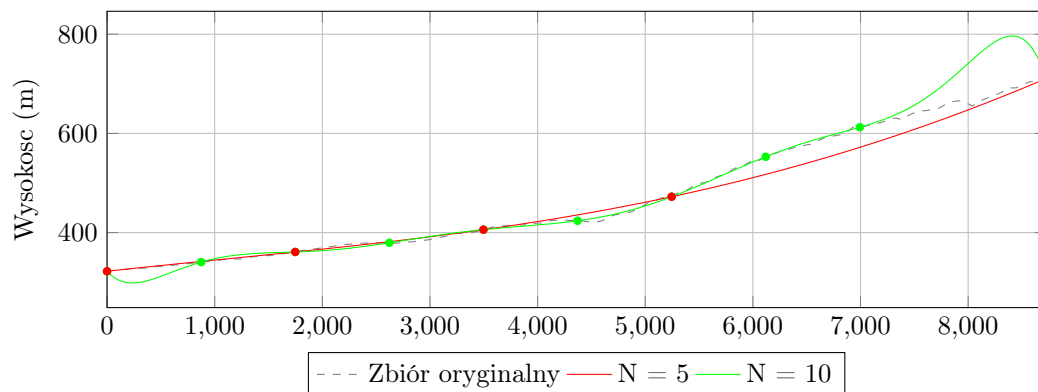
2.3 Trasa bez wzgorz



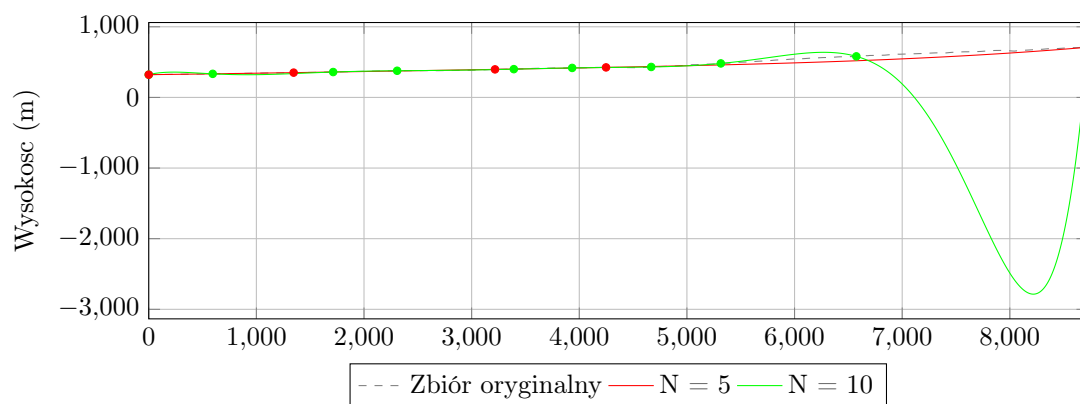
Wykres. 1: Podglądowy charakter profilu trasy.

2.3.1 Wpływ liczby punktów węzłowych na wyniki oraz charakterystyki ich rozmieszczenia

1. Metoda wykorzystująca wielomian interpolacyjny Lagrange'a

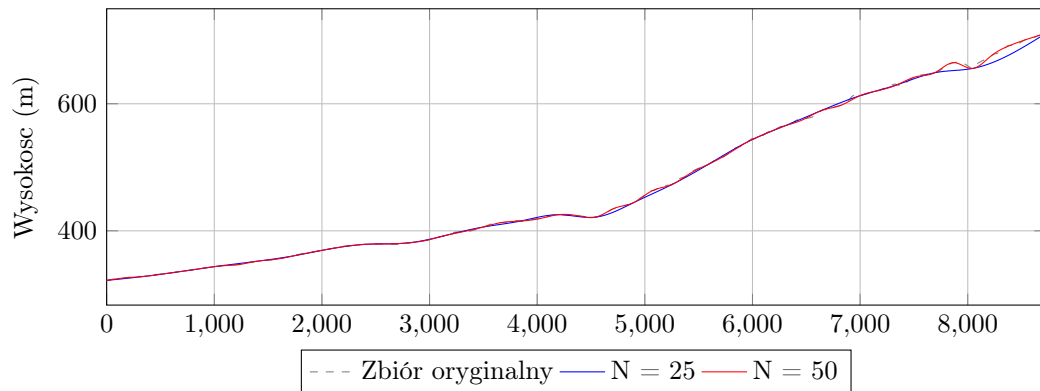


Wykres. 2: Wpływ liczby punktów węzłowych rozmieszczonych równomiernie na wyniki.

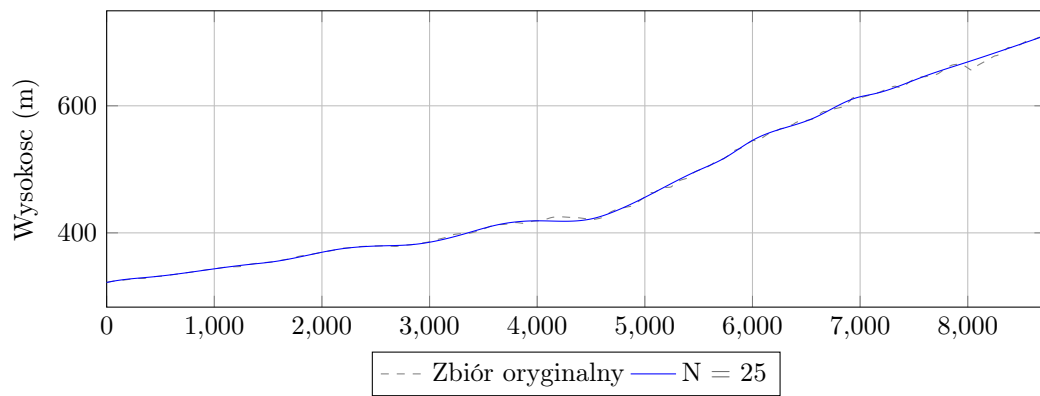


Wykres. 3: Wpływ liczby punktów węzłowych rozmieszczonych nierównomiernie na wyniki.

2. Metoda wykorzystująca funkcje sklejane trzeciego stopnia

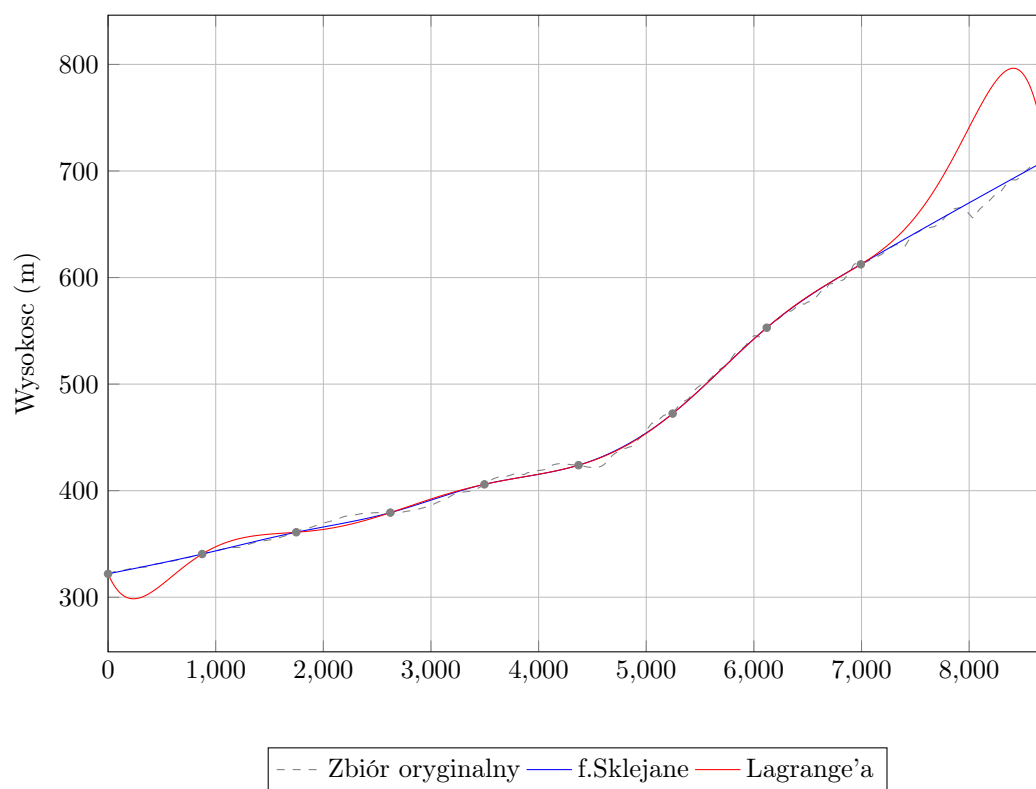


Wykres. 1: Wpływ liczby punktów węzłowych rozmieszczonych równomiernie na wyniki.



Wykres. 2: Wpływ liczby punktów węzłowych rozmieszczonych nierównomiernie na wyniki.

2.3.2 Zestawienie dwóch wykorzystywanych metod



Wykres. 1: Zestawienie dwóch metod

3 Wnioski

Profile tras a mianowicie ich teren jest nieprzewidywalny, jego zmiany nie podlegają żadnym regułom, prawdopodobnie dlatego metoda funkcji sklepanych jest lepsza, bo próbuje odwzorować teren po małym kawałku, prawie że osobno, jedynie pamiętając o ciągłości.

Im trasa jest bardziej zróżnicowana, z dużą liczbą stromych zboczy i ostrych wierzchołków, tym więcej węzłów potrzeba, by uzyskać rozsądne przybliżenie funkcji.

To, która metoda będzie 'lepsza"', zawsze ostatecznie zależy od dostępnych danych, ich rozmieszczenia, profilu terenu i celu aproksymacji. W dodatku, czasami nawet mniejsza liczba węzłów daje lepsze wyniki, więc należy sprawdzić wiele możliwości, pozwoli to na dostosowanie danych wyjściowych do zadawającego nas wyniku.